

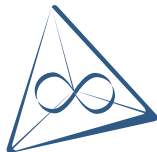


Numerische Behandlung von *H*-Matrizen mit der HLIBpro

Ronald Kriemann
MPI MIS Leipzig

TU Bergakademie Freiberg

2011-11-09





- 1 Entwicklung der HLIBpro
- 2 Beispiel Integralgleichung
- 3 \mathcal{H}^2 -Matrizen
- 4 Und sonst?



Entwicklung der HLIBpro



- 1999 Start der Entwicklung einer C++-Bibliothek für \mathcal{H} -Matrizen mit Fokus auf parallelen Algorithmen.
- 2004 Fertigstellung der Bibliothek in zwei Versionen für gemeinsamen und verteilten Speicher.
- 2005 Fortsetzung der Softwareentwicklung hin zu einer industrietauglichen Bibliothek: **HLIBpro**
 - Robustheit und Stabilität (fast) unabhängig von Eingabedaten,
 - einfache Bedienung bei Vielzahl von möglichen Algorithmen,
 - sehr gute Skalierung auf Standard-Rechnern/kleinen Clustern,
 - Unterstützung von üblicher (Industrie-) Software, z.B. über verschiedenste Dateiformate,
- 2006 Kooperation mit Fraunhofer SCAI zur Vermarktung von HLIBpro.



2006 HLIBpro v0.10 - v0.12

- **komplett neue Fehlerbehandlung** (Exceptions),
- einfache algebraische Clusterung,
- hierarchische Gebietszerlegung („nested dissection“),
- Start der komplexwertige Arithmetik,
- komplexwertiges ACA, reellwertiges HCA,
- interne Routinen für Laplace SLP/DLP,
- **Einführung einer C-Schnittstelle**,
- Unterstützung für MS-Windows

2007 HLIBpro v0.13

- **Thread-parallele Arithmetik** wiedereingeführt,
- **Arithmetik mit einfacher Genauigkeit**,
- **vollständige, komplexwertige \mathcal{H} -Arithmetik**,
- LU-/LDL-basierte \mathcal{H} -Invertierung,
- Unterstützung für periodische Koordinaten bei Clusterung,
- interne Routinen für Helmholtz SLP/DLP und akustische Streuung,

2009 HLIBpro v0.13.6

- **Verwendung von OpenMP zum Starten von Threads**,
- Diagonalskalierung zur Stabilisierung der \mathcal{H} -LU,
- Optimierung der algebraischen Clusterung



2011 HLIBpro v1.0

- MPI-parallele Arithmetik für Matrix-Aufbau und \mathcal{H} -LU/LDL,
- \mathcal{H}^2 -Matrizen,
- eigene Multilevel-Graphpartitionierung für algebraische Clusterung,
- Unterstützung für lineare Basisfunktionen und Maxwell-EFIE/MFIE,
- **komplett neue Schnittstelle zu BLAS/LAPACK (ohne Zeiger),**
- Routinen für Stabilisierung der \mathcal{H} -Faktorisierung,
- bessere Skalierung bei Thread-paralleler \mathcal{H} -Faktorisierung



HLib und HLIBpro waren stets verschiedene Projekte mit unterschiedlichem Fokus:

HLib: **Forschungscode** von Lars Grasedyck und Steffen Börm zum Testen der jeweils aktuellen Algorithmen, d.h. enthält Vielzahl von Einzelverfahren in nicht zwingend konsistenter Form für spezielle Einsatzgebiete,

HLIBpro: Implementierung von Algorithmen im Kontext der \mathcal{H} -Matrizen in einheitlicher und robuster Form. Daher im Einzelnen nicht alle Verfahren aus der HLib verfügbar.

Aber: aufgrund der Entwicklung „unter einem Dach“ gab es natürlich regen Austausch.



Unterschiede zwischen HLib und HLIBpro

- HLib:
- entwickelt in C,
 - + Vielzahl von Approximationsverfahren, z.B. Interpolation, etc.,
 - + komplette \mathcal{H}^2 -Arithmetik,
 - keine komplexwertige oder parallele Arithmetik,
 - nur rudimentäre, algebraische Clusterung
 - nur eingeschränkte I/O-Funktionen,

- HLIBpro:
- entwickelt in C++,
 - + reell- und komplexwertige \mathcal{H} -Arithmetik in einfacher und doppelter Genauigkeit,
 - + Thread- und MPI-parallele Arithmetik,
 - + hochentwickelte algebraische Clusterung,
 - + Unterstützung einer Vielzahl von Dateiformaten: Matlab, MatrixMarket, Harwell-Boeing, Ply, Gmsh, etc.,
 - nur Standardapproximation, d.h. ACA, HCA,
 - keine \mathcal{H}^2 -Arithmetik



Akademische Nutzung

- HLIBpro ist für akademische Zwecke in **Binärform** frei verfügbar.
- Jeder Lizenzschlüssel ist an einen Benutzer und einen Rechner gebunden.
- Pro Lizenznehmer können aber mehrere Lizenzschlüssel ausgegeben werden.
- Zugang zum Quelltext ist nur möglich im Rahmen eines offiziellen Projektes, z.B. DFG, BMBF.

Kommerzielle Nutzung

- HLIBpro ist **nicht** frei und eine Lizenz stets mit Kosten verbunden.
- Das betrifft auch „außeruniversitäre“ Forschungseinrichtungen.



Beispiel Integralgleichung



Gegeben sei Integralgleichung

$$\int_{\Gamma} k(x, y)u(y)dy = f(x) \quad \forall x \in \Gamma$$

mit Kern $k(\cdot, \cdot)$, $\Gamma = \partial\Omega \in \mathbb{R}^3$, rechter Seite f und der gesuchten Funktion u .

Der übliche Galerkinansatz mit geeigneten Basisfunktionen $V := \{\varphi_1, \dots, \varphi_n\}$ führt dann zu dem Gleichungssystem

$$A\mathbf{u} = \mathbf{f}$$

mit

$$a_{ij} = \int_{\Gamma} \int_{\Gamma} \varphi_i(x)k(x, y)\varphi_j(y)dx dy$$
$$f_i = \int_{\Gamma} f(x)\varphi_i(x)dx$$

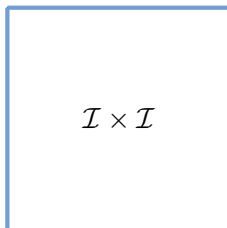
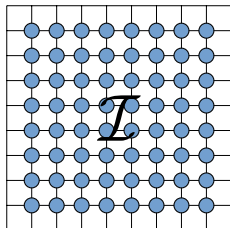


Sei \mathcal{I} eine Indexmenge mit $\#\mathcal{I} = n$, d.h. den Basisfunktionen φ_i zugeordnet. Die Aufgaben bei der Anwendung von \mathcal{H} -Matrizen zur Lösung von $A\mathbf{u} = \mathbf{f}$ sind:



Sei \mathcal{I} eine Indexmenge mit $\#\mathcal{I} = n$, d.h. den Basisfunktionen φ_i zugeordnet. Die Aufgaben bei der Anwendung von \mathcal{H} -Matrizen zur Lösung von $A\mathbf{u} = \mathbf{f}$ sind:

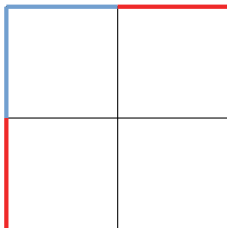
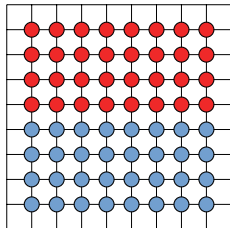
Clustering Identifikation geeigneter Teilbereiche $t \times s \in \mathcal{I} \times \mathcal{I}$ in welchen sich $A|_{t \times s}$ **datenschwach** approximieren läßt.





Sei \mathcal{I} eine Indexmenge mit $\#\mathcal{I} = n$, d.h. den Basisfunktionen φ_i zugeordnet. Die Aufgaben bei der Anwendung von \mathcal{H} -Matrizen zur Lösung von $A\mathbf{u} = \mathbf{f}$ sind:

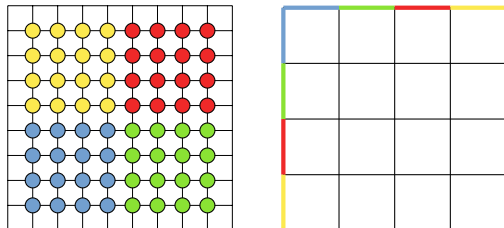
Clustering Identifikation geeigneter Teilbereiche $t \times s \in \mathcal{I} \times \mathcal{I}$ in welchen sich $A|_{t \times s}$ **datenschwach** approximieren läßt.





Sei \mathcal{I} eine Indexmenge mit $\#\mathcal{I} = n$, d.h. den Basisfunktionen φ_i zugeordnet. Die Aufgaben bei der Anwendung von \mathcal{H} -Matrizen zur Lösung von $A\mathbf{u} = \mathbf{f}$ sind:

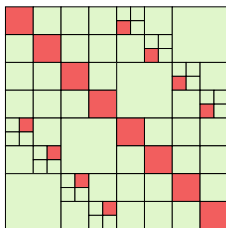
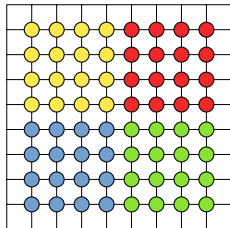
Clustering Identifikation geeigneter Teilbereiche $t \times s \in \mathcal{I} \times \mathcal{I}$ in welchen sich $A|_{t \times s}$ **datenschwach** approximieren läßt.





Sei \mathcal{I} eine Indexmenge mit $\#\mathcal{I} = n$, d.h. den Basisfunktionen φ_i zugeordnet. Die Aufgaben bei der Anwendung von \mathcal{H} -Matrizen zur Lösung von $A\mathbf{u} = \mathbf{f}$ sind:

Clustering Identifikation geeigneter Teilbereiche $t \times s \in \mathcal{I} \times \mathcal{I}$ in welchen sich $A|_{t \times s}$ **datenschwach** approximieren läßt.

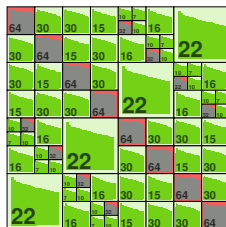
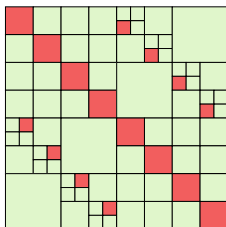
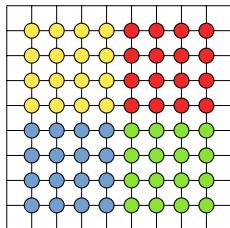




Sei \mathcal{I} eine Indexmenge mit $\#\mathcal{I} = n$, d.h. den Basisfunktionen φ_i zugeordnet. Die Aufgaben bei der Anwendung von \mathcal{H} -Matrizen zur Lösung von $A\mathbf{u} = \mathbf{f}$ sind:

Clustering Identifikation geeigneter Teilbereiche $t \times s \in \mathcal{I} \times \mathcal{I}$ in welchen sich $A|_{t \times s}$ **datenschwach** approximieren läßt.

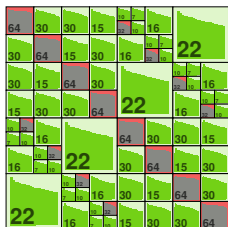
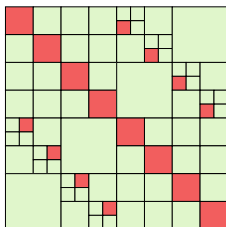
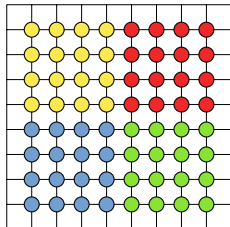
Aufbau Berechnung der blockweisen Approximation von A (als Niedrigrangmatrizen),





Sei \mathcal{I} eine Indexmenge mit $\#\mathcal{I} = n$, d.h. den Basisfunktionen φ_i zugeordnet. Die Aufgaben bei der Anwendung von \mathcal{H} -Matrizen zur Lösung von $A\mathbf{u} = \mathbf{f}$ sind:

- Clustering** Identifikation geeigneter Teilbereiche $t \times s \in \mathcal{I} \times \mathcal{I}$ in welchen sich $A|_{t \times s}$ **datenschwach** approximieren läßt.
- Aufbau** Berechnung der blockweisen Approximation von A (als Niedrigrangmatrizen),
- Lösung** Definition einer Arithmetik für \mathcal{H} -Matrizen für die Lösung des Gleichungssystems, d.h. Matrix-Vektor-Mult. und u.U. \mathcal{H} -LU-Zerlegung.

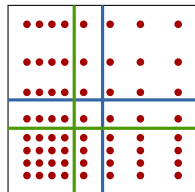




Clusterbaum

HLIBpro bietet verschiedene (BSP-) Clusterungsalgorithmen:

- *volumen-* oder *kardinalitäts-* balanciert,
- optional mit *regulärer* (zyklischer) Achsenwahl,
- *Hauptkomponentenanalyse* (PCA)



Standard ist automatische Clusterung mit Kombination aus Volumen- und Kardinalitätsbalancierung:

```
TCoordinate      coord( vertices, 3, bbmin, bbmax );  
TAutoBSPPartStrat part_strat( & coord );  
TBSPCTBuilder    ct_builder( & part_strat );  
TClusterTree *   ct = ct_builder.build( & coord );
```

Sei $T(\mathcal{I})$ der so berechnete Clusterbaum über \mathcal{I} .



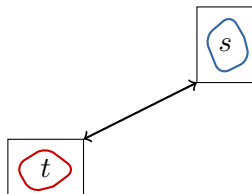
Blockclusterbaum

Entscheidend für den Blockclusterbaum ist die Zulässigkeitsbedingung, üblicherweise

$$\min\{\text{diam}(t), \text{diam}(s)\} \leq \eta \text{dist}(t, s)$$

für Cluster $t, s \in T(\mathcal{I})$.

Die Berechnung von diam bzw. dist erfolgt in HLIBpro standardmäßig über die „bounding box“.



```
TStdAdmCond      adm( 2.0, false ); // true → max{diam(t), diam(s)}
TBCBuilder       bc_builder;
TBlockClusterTree * bct = bct_builder.build( ct, ct, & adm );
```

$T(\mathcal{I} \times \mathcal{I})$ bezeichne den entsprechend konstruierten Blockclusterbaum über $\mathcal{I} \times \mathcal{I}$.



Für den \mathcal{H} -Matrixaufbau, hier vereinfacht nur für die Blätter \mathcal{L} von $T(\mathcal{I} \times \mathcal{I})$, genügt folgender Algorithmus:

```
for  $(t, s) \in \mathcal{L}(T(\mathcal{I} \times \mathcal{I}))$  do  
    if  $(t, s)$  ist zulässig then  
        erstelle Niedrigrangmatrix;  
    else  
        erstelle volle Matrix;
```

Entsprechend notwendig ist ein Verfahren zur Approximation von $A|_{(t,s)}$ für zulässige Blöcke $(t, s) \in \mathcal{T}(I \times I)$.

HLIBpro bietet hierfür

- ACA** Adaptive Kreuzapproximation (ACA, ACA+, ACA-Full),
- HCA** Hybride Kreuzapproximation,
- SVD** Singulärwertzerlegung.



Für diese Verfahren müssen die Matrixkoeffizienten

$$a_{ij} = \int_{\Gamma} \int_{\Gamma} \varphi_i(x) k(x, y) \varphi_j(y) dx dy$$

in Form einer *Koeffizientenfunktion* bereitgestellt werden:

```
TMyCoeffFn    my_fn( ..., rowct->perm_i2e(), colct->perm_i2e() );
```

mit zu implementierender eval-Funktion:

```
void TMyCoeffFn::eval ( const vector< idx_t > & rowidxs,  
                        const vector< idx_t > & colidxs,  
                        real * matrix ) const;
```

Anschließend wird das Approximationsverfahren und die Genauigkeit definiert:

```
TACAPlus      lrapx( & my_fn );  
TDenseMBuilder h_ctor( & my_fn, & lrapx );  
TTruncAcc     acc( 1e-4, 0.0 );  
TMatrix *     A = h_ctor.build( nthreads, bct, MATFORM_NONSYM, acc );
```

Alternativ können die Matrixblöcke auch direkt mit eigenen Verfahren konstruiert werden, z.B. für \mathcal{H}^2 -Matrizen.



Paralleler Matrix-Aufbau

Der (vereinfachte) Algorithmus

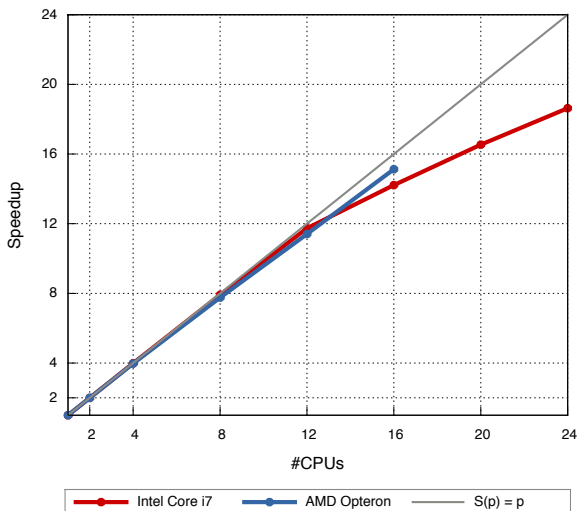
```
for  $(t, s) \in \mathcal{L}(T(\mathcal{I} \times \mathcal{I}))$  do  
    konstruiere Matrixblock für  $(t, s)$ 
```

für den \mathcal{H} -Matrixaufbau hat folgende, für die Parallelisierung wichtige Eigenschaften:

- alle Matrixblöcke können **unabhängig** voneinander konstruiert werden,
- $\#\mathcal{L}(T(\mathcal{I} \times \mathcal{I})) \gg \#\text{procs}$, d.h. genügend Arbeit für jeden Prozessor und damit **keine** explizite Lastverteilung notwendig („list/online scheduling“ genügt).



Helmholtz, Doppelschicht-Potential im \mathbb{R}^3 :





Zur iterativen Lösung von Gleichungssystemen stehen in HLIBpro mehrere Verfahren zur Verfügung, z.B. CG, BiCG-Stab, MINRES und GMRES.

```
TGMRES    gmres( 20, 1000 ); // Neustart und maximale Iterationsanzahl
TVector   x, b;

b = ...; // rechte Seite
x = ...; // Lösungsvektor

gmres.solve( A, x, b );
```

Beschleunigung ist mit Präkonditionierer, z.B. per \mathcal{H} -LU, möglich:

```
TMatrix * B      = A->copy();
TMatrix * A_inv  = factorise_inv( nthreads, B, acc );

gmres.solve( A, x, b, A_inv );
```

Wesentliches Element in beiden Fällen ist die \mathcal{H} -Matrix-Vektor-Multiplikation (bzw. \mathcal{H} -Dreiecksauflösen).



Parallele Matrix-Vektor-Multiplikation

Analog zum Matrix-Aufbau kann die Vektor-Mult. vereinfacht für die Blätter betrachtet werden:

$$\text{for } (t, s) \in \mathcal{L}(T(I \times I)) \text{ do} \\ y|_t := y|_t + A|_{(t,s)} \cdot x|_s;$$

Im parallelen Fall wird hierfür noch ein **lokaler** Vektor y^p für Prozessor p benötigt:

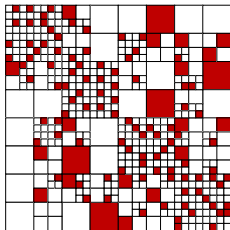
$$y^p \in \mathbb{R}^m; \\ \text{for } (t, s) \in \mathcal{L}(T(I \times I)) \text{ do} \\ y^p|_t := y^p|_t + A|_{(t,s)} \cdot x|_s; \\ \{ \text{paralleles Aufsummieren} \} \\ y := \sum_i y^i;$$

Bei angenommener gleicher Last (analog zum Matrix-Aufbau) hängt die parallele Komplexität nur von der Größe m von y^p ab.

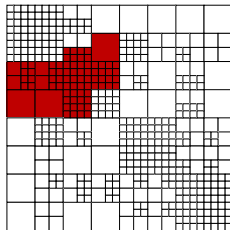


Parallele Matrix-Vektor-Multiplikation

Die Größe m des lokalen Vektors wird bestimmt durch die Verteilung der Matrixblöcke:



$$m \in \mathcal{O}(n)$$



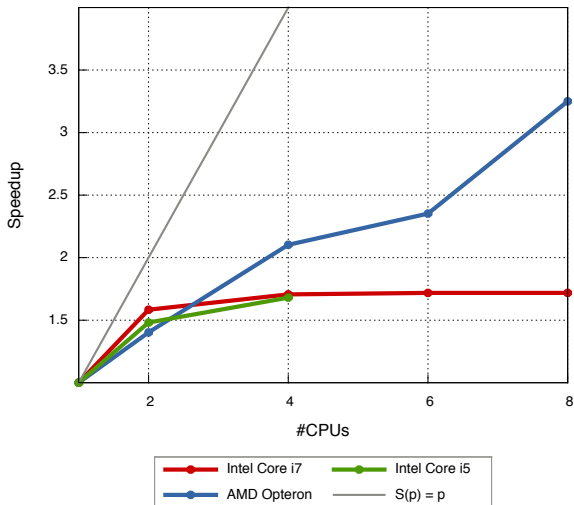
$$m \in \mathcal{O}\left(\frac{n}{\sqrt{p}}\right)$$

Bei *lokaler* Verteilung ist die Gesamtkomplexität damit

$$\mathcal{O}\left(\frac{n \log n}{p} + \frac{n}{\sqrt{p}}\right)$$



Matrix-Vektor-Mult., Helmholtz, DLP im \mathbb{R}^3 :





Parallele \mathcal{H} -LU-Zerlegung

Bei einer angenommenen 2×2 -Blockstruktur von A :

$$\begin{pmatrix} A_{11} & A_{12} \\ A_{21} & A_{22} \end{pmatrix} = \begin{pmatrix} L_{11} & \\ L_{21} & L_{22} \end{pmatrix} \cdot \begin{pmatrix} U_{11} & U_{12} \\ & U_{22} \end{pmatrix}$$

erhält man

$$\begin{aligned} L_{11}U_{11} &= A_{11}, & L_{11}U_{12} &= A_{12}, \\ L_{21}U_{11} &= A_{21}, & L_{22}U_{22} &= A'_{22} \end{aligned}$$

mit

$$A'_{22} = A_{22} - L_{21}U_{12}.$$

Damit besteht die \mathcal{H} -LU-Zerlegung aus Rekursionen und Matrix-Multiplikationen (analog für Dreiecksauflösen).



Thread-Parallele \mathcal{H} -LU-Zerlegung

Bei Systemen mit *gemeinsamem* Speicher kann die \mathcal{H} -Matrix-Multiplikation mit **optimaler** Skalierung durchgeführt werden.

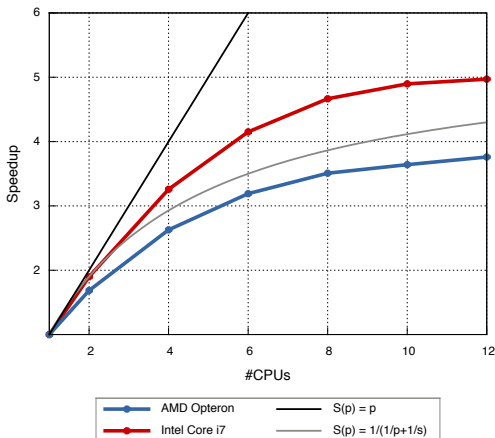


Thread-Parallele H-LU-Zerlegung

Bei Systemen mit *gemeinsamem* Speicher kann die H-Matrix-Multiplikation mit **optimaler** Skalierung durchgeführt werden.

Trotzdem ergibt sich durch die Rekursionen ein sequentieller Anteil und damit eine Komplexität von

$$\mathcal{O}\left(\frac{n \log^2 n}{p} + n \log n\right).$$



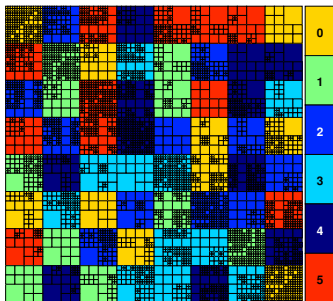


MPI-Parallele \mathcal{H} -LU-Zerlegung

Im Falle eines *verteilten* Speichers kann die \mathcal{H} -Matrix-Multiplikation **nicht** parallel ausgeführt werden. Es müssen die jeweils benötigten Teilblöcke der Matrix komplett über das Netzwerk gesendet werden.

Parallelität ergibt sich aber aus dem gleichzeitigen Auflösen innerhalb einer Blockspalte bzw. -zeile. Außerdem ist der Speicher **optimal** verteilt (*Hauptanwendung* momentan!).

Bei schnellem Netzwerk ergibt sich ein Speedup von etwa 2.





MPI-Parallele \mathcal{H} -LU-Zerlegung

Die Definition der Lastverteilung erfolgt in HLIBpro über den Blockclusterbaum, vor dem Matrix-Aufbau:

```
TBlockDistrBC  bc_distr( min_lvl, false ); // true → sym. Verteilung
TMyCostFn      cost_fn;

bc_distr.distribute( NET::nprocs(), bct, & cost_fn );
```

Hierfür ist eine entsprechende Kostenfunktion zu definieren.

Für eine lokale Verteilung in Hinblick auf Matrix-Vektor-Multiplikation:

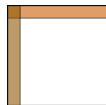
```
TSFCDistrBC  bc_distr;
```



\mathcal{H}^2 -Matrizen



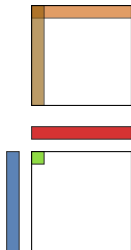
In einer \mathcal{H} -Matrix werden Rang- k -Matrizen $M \in \mathbb{K}^{t \times s}$ in faktorisierte Form $M = A \cdot B^H$ mit $A \in \mathbb{K}^{t \times k}$, $B \in \mathbb{K}^{s \times k}$ dargestellt, d.h. mit Aufwand $k \cdot (\#t + \#s)$.





In einer \mathcal{H} -Matrix werden Rang- k -Matrizen $M \in \mathbb{K}^{t \times s}$ in faktorisierte Form $M = A \cdot B^H$ mit $A \in \mathbb{K}^{t \times k}$, $B \in \mathbb{K}^{s \times k}$ dargestellt, d.h. mit Aufwand $k \cdot (\#t + \#s)$.

Sei V eine Basis für \mathbb{K}^t und W für \mathbb{K}^s . Dann ergibt sich $M = VSW^T$ mit *Basiskoeffizienten* $S \in \mathbb{K}^{k \times k}$.

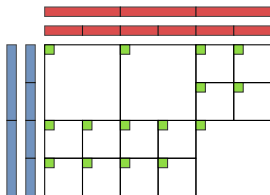
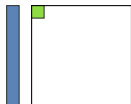
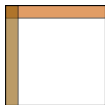




In einer \mathcal{H} -Matrix werden Rang- k -Matrizen $M \in \mathbb{K}^{t \times s}$ in faktorisierte Form $M = A \cdot B^H$ mit $A \in \mathbb{K}^{t \times k}$, $B \in \mathbb{K}^{s \times k}$ dargestellt, d.h. mit Aufwand $k \cdot (\#t + \#s)$.

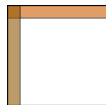
Sei V eine Basis für \mathbb{K}^t und W für \mathbb{K}^s . Dann ergibt sich $M = VSW^T$ mit *Basiskoeffizienten* $S \in \mathbb{K}^{k \times k}$.

Wählt man **geeignete** Basen V^t, W^s für alle $t, s \in \mathcal{T}$, so lassen sich **alle** Matrizen der \mathcal{H} -Matrix allein durch die Koeffizientenmatrizen $S^{t,s}$ darstellen. Dadurch sinkt der Speicheraufwand für die \mathcal{H} -Matrix auf $\mathcal{O}(n)$.

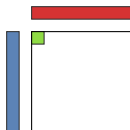




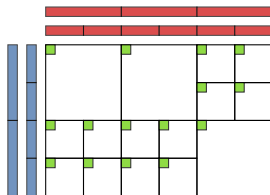
In einer \mathcal{H} -Matrix werden Rang- k -Matrizen $M \in \mathbb{K}^{t \times s}$ in faktorisierte Form $M = A \cdot B^H$ mit $A \in \mathbb{K}^{t \times k}$, $B \in \mathbb{K}^{s \times k}$ dargestellt, d.h. mit Aufwand $k \cdot (\#t + \#s)$.



Sei V eine Basis für \mathbb{K}^t und W für \mathbb{K}^s . Dann ergibt sich $M = VSW^T$ mit *Basiskoeffizienten* $S \in \mathbb{K}^{k \times k}$.



Wählt man **geeignete** Basen V^t, W^s für alle $t, s \in \mathcal{T}$, so lassen sich **alle** Matrizen der \mathcal{H} -Matrix allein durch die Koeffizientenmatrizen $S^{t,s}$ darstellen. Dadurch sinkt der Speicheraufwand für die \mathcal{H} -Matrix auf $\mathcal{O}(n)$.



Die Basen $\{V^t : t \in \mathcal{T}\}$ und $\{W^t : t \in \mathcal{T}\}$ heißen **Clusterbasen** und besitzen die gleiche (hierarchische) Struktur wie der Clusterbaum. Clusterbasen sind üblicherweise **geschachtelt**.



\mathcal{H}^2 -Matrizen sind in der HLIBpro erst seit kurzem implementiert, dafür aber in einer modernen Form vorhanden. Aktuell verfügbar sind folgende Datenstrukturen:

- Clusterbasen: sowohl reell- als auch komplexwertig,
- uniforme Vektoren über einzelnen Clustern und Clusterbäumen,
- uniforme Matrizen,

und Algorithmen:

- Konstruktoren für Clusterbasen aus vollbesetzten Matrizen und \mathcal{H} -Matrizen,
- \mathcal{H}^2 -Matrix-Vektor-Multiplikation

Eine \mathcal{H}^2 -Arithmetik steht **nicht** zur Verfügung.



Im Gegensatz zu den üblichen Datenstrukturen in der HLIBpro ist der Wertetyp bei den Clusterbasen **generisch**. Außerdem wurde die neue BLAS/LAPACK-Schnittstelle voll in den Entwurf integriert.

Manuelle Konstruktion

Bei vorhandenem Wissen über die entsprechenden Koeffizienten einer geeigneten Clusterbasis für eine \mathcal{H}^2 -Matrix, kann diese wie folgt manuell konstruiert werden:

- Clusterbasis für ein Blatt:

```
BLAS::Matrix< T >          V = ... // Basis für Blatt
TIndexSet                 is( first, last );
TClusterBasis< T >        cb( is, V );
```

- Clusterbasis für inneren Knoten:

```
TClusterBasis< T >        cb0( is0, V1 ), cb1( is1, V1 );
vector< TClusterBasis< T > > sons = { cb0, cb1 };
BLAS::Matrix< T >        E0 = ..., E1 = ...; // Transfermatrizen
vector< BLAS::Matrix< T > > E = { E0, E1 };
TClusterBasis< T >        cb( is, sons, E );
```




Konstruktion aus \mathcal{H} -Matrix

Desweiteren kann eine bestehende \mathcal{H} -Matrix in eine \mathcal{H}^2 -Matrix mit einer gewünschten Genauigkeit ε konvertiert werden:

```
THClusterBasisBuilder< T >  bbuilder;  
TClusterBasis< T > *        rowcb;  
TClusterBasis< T > *        colcb;  
  
tie( rowcb, colcb ) = bbuilder.build( A, TTruncAcc( eps ) );  
  
TMatrix *                  A2 = to_h2( A, rowcb, colcb );
```

Die Konvertierung von \mathcal{H} nach \mathcal{H}^2 während der Konstruktion der \mathcal{H} -Matrix ist derzeit noch nicht möglich.



Die \mathcal{H}^2 -Matrix-Vektor-Multiplikation $Ax = y$ besteht aus drei Schritten:

- 1 **Vorwärtstransformation**: Projektion von $x|_s$ in den von W^s aufgespannten Raum: $S_x^s := W^{H,s}x|_s$,
- 2 **Multiplikation** für alle Matrizen: $S_y^t := S^{t,s} \cdot S_x^s$
- 3 **Rückwärtstransformation**: Rückprojektion $V^t \cdot S_y^t$ und Aufsummieren der einzelnen Anteile

Der Aufwand für die \mathcal{H}^2 -Matrix-Vektor-Multiplikation reduziert sich im Vergleich zu den \mathcal{H} -Matrizen auf

$$\mathcal{O}(n)$$



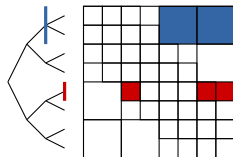
Die \mathcal{H}^2 -Matrix-Vektor-Multiplikation $Ax = y$ besteht aus drei Schritten:

- 1 **Vorwärtstransformation**: Projektion von $x|_s$ in den von W^s aufgespannten Raum: $S_x^s := W^{H,s}x|_s$,
- 2 **Multiplikation** für alle Matrizen: $S_y^t := S^{t,s} \cdot S_x^s$
- 3 **Rückwärtstransformation**: Rückprojektion $V^t \cdot S_y^t$ und Aufsummieren der einzelnen Anteile

Der Aufwand für die \mathcal{H}^2 -Matrix-Vektor-Multiplikation reduziert sich im Vergleich zu den \mathcal{H} -Matrizen auf

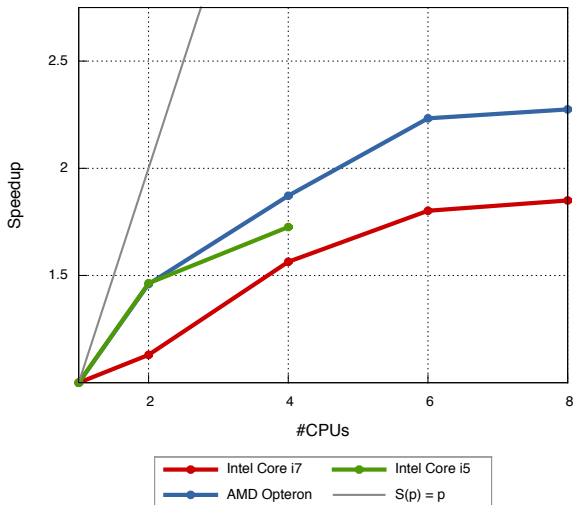
$$\mathcal{O}(n)$$

In der HLIBpro ist die Multiplikation aktuell für threadparallele Systeme in einer *einfachen* Version implementiert, d.h. paralleles Abarbeiten für Knoten des Clusterbaumes.





Num. Resultate, Helmholtz-DLP im \mathbb{R}^3 :

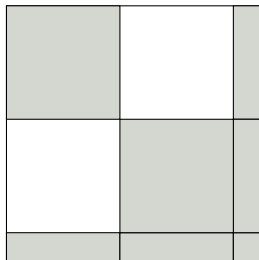
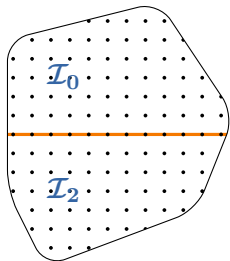




Und sonst?

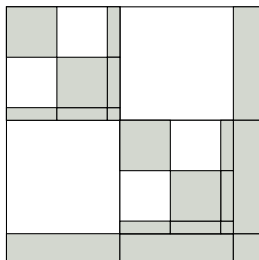
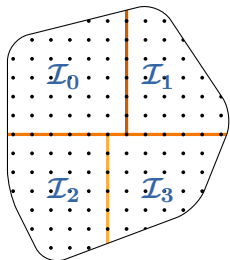


Für schwachbesetzte Systeme läßt sich eine spezielle Clustering vornehmen, welche die Indizes durch einen inneren Rand rekursiv **entkoppelt**:



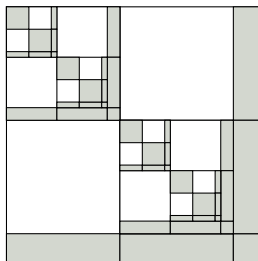
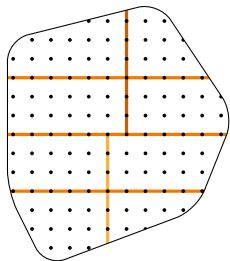


Für schwachbesetzte Systeme läßt sich eine spezielle Clustering vornehmen, welche die Indizes durch einen inneren Rand rekursiv **entkoppelt**:



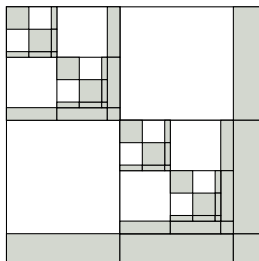
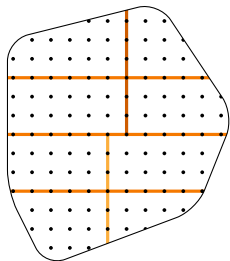


Für schwachbesetzte Systeme läßt sich eine spezielle Clustering vornehmen, welche die Indizes durch einen inneren Rand rekursiv **entkoppelt**:





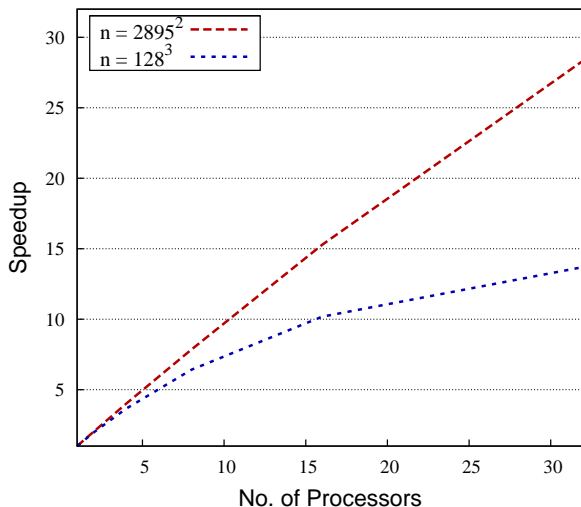
Für schwachbesetzte Systeme läßt sich eine spezielle Clustering vornehmen, welche die Indizes durch einen inneren Rand rekursiv **entkoppelt**:



Hierdurch ergeben sich große Nullblöcke, die sich auch während der \mathcal{H} -LU-Zerlegung **nicht** auffüllen. Das Ergebnis ist eine wesentliche Beschleunigung der \mathcal{H} -Arithmetik. Desweiteren ist die \mathcal{H} -LU-Zerlegung inherent parallel.



Num. Resultate, Poisson-Problem im \mathbb{R}^2 und \mathbb{R}^3 :



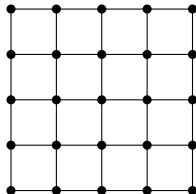
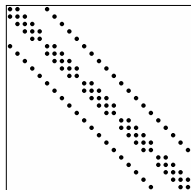


Oftmals steht ausschließlich die schwachbesetzte Matrix für ein Gleichungssystem zur Verfügung, d.h. ohne Geometrieinformationen. Unter Verwendung des *Matrixgraphen* und *Graphenpartitionierung* kann dann trotzdem ein Cluster- und Blockclusterbaum konstruiert werden.

Matrixgraph

Der Matrixgraph $G(A) = (V, E)$ von A ist def. durch $V := \mathcal{I}$ und

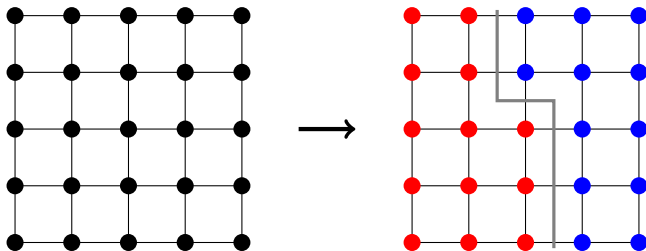
$$E := \{(i, j) \in I \times I : i \neq j \wedge (a_{ij} \neq 0 \vee a_{ji} \neq 0)\},$$





Graphenpartitionierung

Zum Graphen $G = (V, E)$ ist eine Partitionierung $V = P_1 \cup P_2$ mit $\#P_1 \sim \#P_2$ und minimalem **Kantenschnitt** gesucht.



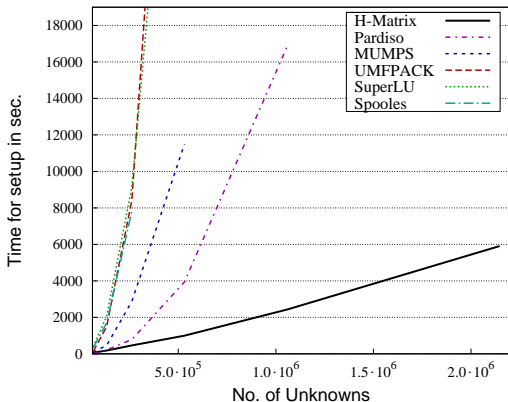
Das Problem ist zwar NP-vollständig, es existieren aber gute Approximationsverfahren (z.B. METIS).



Black-Box- \mathcal{H} -LU-Zerlegung

In HLIBpro werden eigene Verfahren zur Graphenpartitionierung genutzt als auch z.B. METIS unterstützt. Das Verfahren läßt sich außerdem mit „nested dissection“ kombinieren.

Die so definierte *Blackbox- \mathcal{H} -LU-Zerlegung* steht z.B. in Konkurrenz mit direkten Lösern oder algebraischen Mehrgitterverfahren.





HLIBpro implementiert verschiedenste Routinen für die numerische Behandlung von Integralgleichungen:

- Integralkerne:
 - Laplace SLP und DLP,
 - Helmholtz SLP und DLP (plus akustische Streuung),
 - Maxwell EFIE und MFIE,
 - Massematrix
- Basisfunktionen: stückweise konstant und linear,
- volle SSE2/AVX-Beschleunigung der Berechnung der Matrixkoeffizienten (Sauter-Schwab-Quadratur),
- HCA-Kollokationsintegrale für Laplace und Helmholtz,
- Darstellung der Oberflächen als Dreiecksgitter; I/O für verschiedenste Dateiformate.



Beispiel für Helmholtz SLP

```
typedef TConstFnSpace          ansatzsp_t;
typedef TLinearFnSpace         testsp_t;
typedef THelmholtzSLPBF< ansatzsp_t, testsp_t > bf_t;
typedef TBFCoeffFn< slpbf_t >   coefffn_t;

TGrid *      grid          = grid_io.read( grid_filename );
ansatzsp_t  ansatz_fspace = new ansatzsp_t( grid.get() );
testsp_t    test_fspace   = new testsp_t( grid.get() );
TCoordinate * coord1      = test_fspace->build_coord();
TCoordinate * coord2      = ansatz_fspace->build_coord();

...

bf_t      bf( kappa, ansatz_fspace, test_fspace, 4 );
coefffn_t coefffn( & bf, row_ct->perm_i2e(), col_ct->perm_i2e() );
TACAPlus  aca( & coefffn );
TDenseMBuilder h_builder( & coefffn, & aca );
```



HLIBpro.com

